

**ANALIZA KOMPERATIVE MIDIS INDEKSIT DOPPLER EKOGRAFISË SISTOLIKE  
NË BARKUSHEN E DJATHË DHE PARAMETRAT ME ANË TË KATETERIZIMTI NË  
ZEMRËN E DJATHË**

LUIZA GRUEVA, ANTONIA GEORGIEV, SONJA TEODOROVA, VEXHIE AVDIU\*

**Summary**

**COPPORATIVE ANALYSE BETWEEN DOPPLER-ECHOCARDIOGRAPHY SYSTOLIC INDEX OF RIGHT VENTRICLE AND PARAMETERS OF RIGHT HEART CATETERISATION**

**Introduction:** Until 2 decades ago, the right heart cateterisation were “golden standard” in the assessment of right ventricle function. With the appearance of the echocardiography, especially of doppler techniques, we have a powerful tool in the assessment of right ventricle function and estimation of pulmonary hypertension.

Doppler-echocardiography is on the top of the noninvasive methods for assessment of right ventricle function and estimation of pulmonary hypertension. The estimation we have made by analysis of morphological curve of the pulmonary artery in systolic period. We quantified the indexes by doppler-echocardiography (systolic which we got with right heart cateterisation).

The result of our study (39ptc) show us, high correlation between the systolic time intervals with echo - doppler technique and parameters by right heart cateterisation.

Metoda më efektive joinvazive për përcaktimin e defekteve të zemrës është ekokardiografia me teknikat e saj të kohës (puisiv, kontinuitet dhe doppler me ngjyrë). Kjo metodë mundëson përcaktimin dhe vlerësimin e tensionit të mesëm në trungun pulmonar përmes analizës morfollogjike në lakin e tensionit në sistol trakt i rrjedhur në barkushen e djathë, përmes indeks-intervaleve kohore të cilat indirekt paraqesin edhe funksionin e barkushes së djathë të zemrës: tensionin në trungun pulmonar, barkushja e djathë dhe tensioni kapilar jatin koeficient të lartë korrelacioni me indekset-kohore të sistolës të marra nga ekokardiografia.

**Qëllimi i studimit** është bërrja e krahasimit dhe korrelacionit të indekseve-kohore sistolike me

vlerat e tensioneve të marra me kateterizim të anës së djathë të zemrës, tek pacientë me defekte në anën e majtë të zemrës.

**Materiale dhe metoda:** Studimi është kryer në Institutin e sëmundjeve të zemrës në Shkup. Janë analizuar 50 pacientë me defekte në anën e majtë të zemrës, por si grup-kontroll janë ndjekur 10 pacientë me hemodinamikë normale. Pacientët nga grupei hemodinamik janë ndarë në tri grupe në varësi nga vlerat e tensionit pulmonar arterial të mesëm (TPA të mesëm).

**Rezultate:** Vlera të RVPEP/RVET indeksi tregoi zgjatje sinjifikative të këtij indeksi, duke shkuar nga grupei i parë drejt grupit të tretë hemodinamikë. E krahasuar me grup-kontrollin, ky indeks tregoi ndryshimin sinjifikativ të lartë ( $p < 0,001$ ).

\* Dërguar në Redaksi në 17 Janar 2003, miratuar për botim në 20 Shtator 2003.

Nga Fakulteti i Mjekësisë - Shkup.

Adresa për letërëmbim: Avdiu V.: Fakulteti i Mjekësisë - Shkup

Në tabelën nr.1 pasqyrohen vlerat e marra:

**Tabela nr.1**

Grupi	Numri	RVPEP/RVET	
(PAP-I MESEM)		Vlera e mesme	Devijimi i mesëm
20-30 mmHg	16	0,45	0,06
II 30-40 mmHg	14	0,54	0,06
III >40 mmHg	9	0,65	0,06
TOTAL	39	0,54	0,08
KONTROLLI	6	0,26	0,05

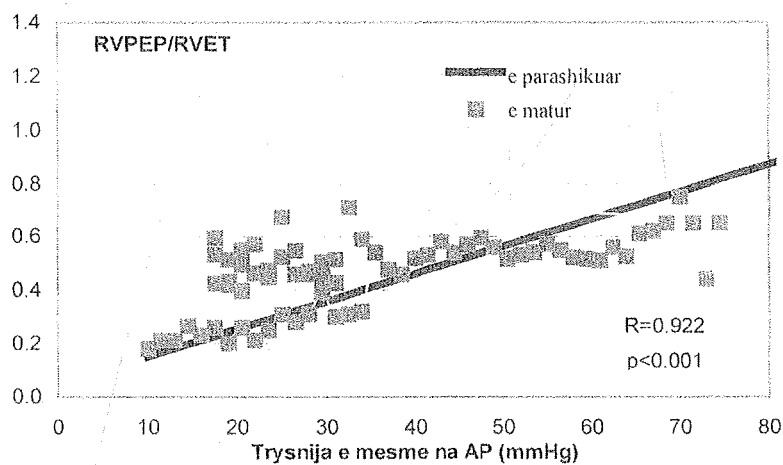
Vlerat e lartpërmendura të marra me anë të doppler ekokardiografisë ishin korreluar me vlerat e tensionit pulmonar arterial të mesëm, të marra nga kateterizimi i anës së djathë të zemrës. Vlerat e korreluara dhanë koeficient të lartë  $r = 0.922$  (Grafiku nr.1).

Korrelimi i marrë midis tensionit sistolik të ventrikulës së djathë dhe RVPEP/RVET indeksi dhanë koeficient të korrelimit:  $r = 0.667$  (Grafiku nr.2)

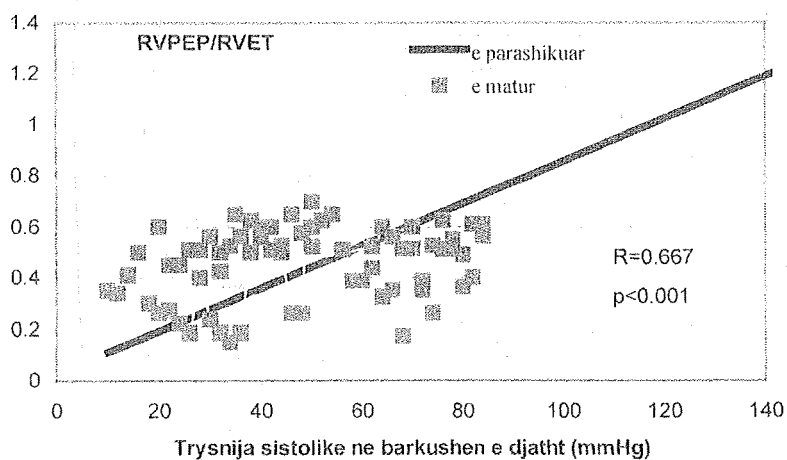
Koeficienti i korrelimit midis RVPEP/RVET indeksit dhe tensionit kapilar treguan vlera:  $r = 0.652$  (Grafiku nr.3)

Rezultatet të AR/RVET indeksit treguan shkurtim të këtij indeksi, duke shkuar nga grupi i parë drejt grupit të tretë hemodinamike. Ndryshim

**Grafiku Nr. 1**



**Grafiku Nr. 2**



sinjifikativ të lartë morëm midis grupit hemodinamik dhe atij të kontrollit ( $p<0,001$ ). Ndryshim sinjifikant

të lartë ( $p<0,001$ ) morëm dhe mes grupeve hemodinamike të ndara (Tabela nr.2)

Tabela nr.2

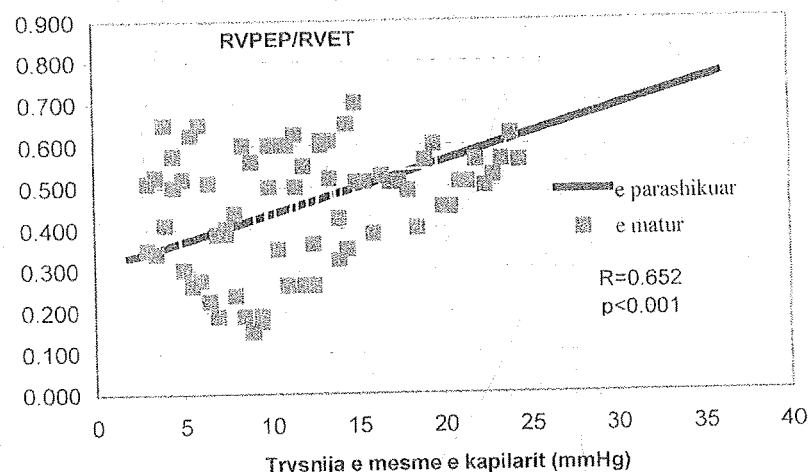
Grupi (PAP-IMESEM)	Numri	AT/RVET	
		Vlera e mesme	Devijime
I 20-30	16	0.44	0.05
II 30-40	14	0.33	0.06
III > 40	9	0.25	0.05
TOTAL	39	0.36	0.09
KONTROLI	6	0.70	0.10

Vlerat e lartpërmendura të marra me doppler ekokardiografike janë korreluar me vlerat e tensionit pulmonar arterial të mesëm të marra me kateterizim të djathë të zemrës. Vlerat e korreluara dhanë koeficient të mirë  $r = 0.775$  (Grafiku nr.4).

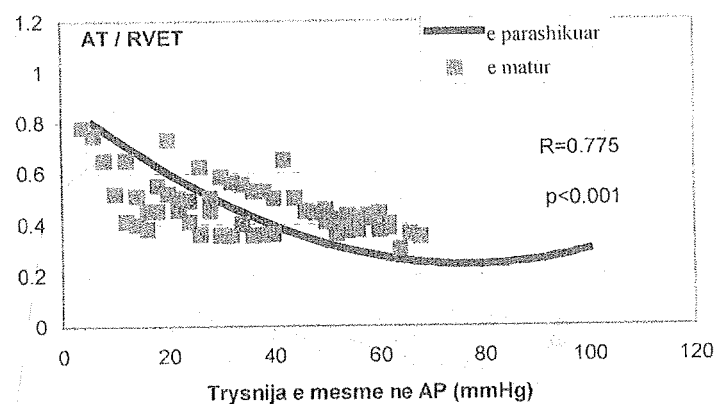
Korrelacioni i marrë midis tensionit sistolik në ventrikulën e djathë dhe AT/RVET indeksit dhanë koeficient korreli:  $r = 0.825$  (Grafiku nr.5)

Koeficienti i korreleimit midis AT/RVET

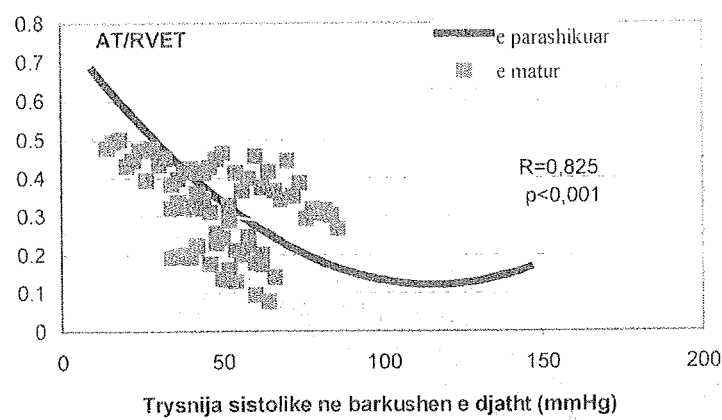
Grafiku Nr. 3

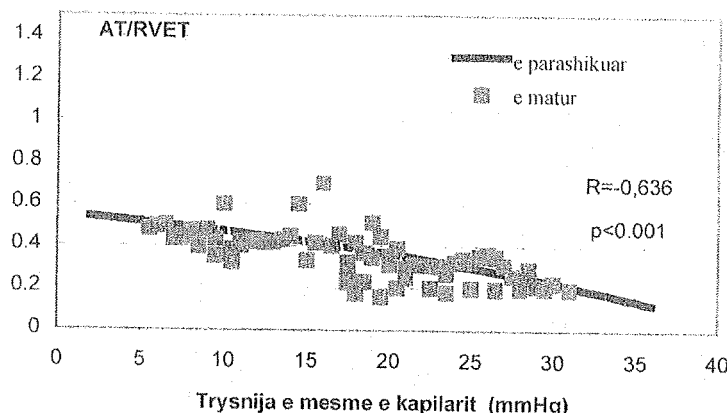


Grafiku Nr. 4



Grafiku Nr.5



**Grafiku Nr.6**

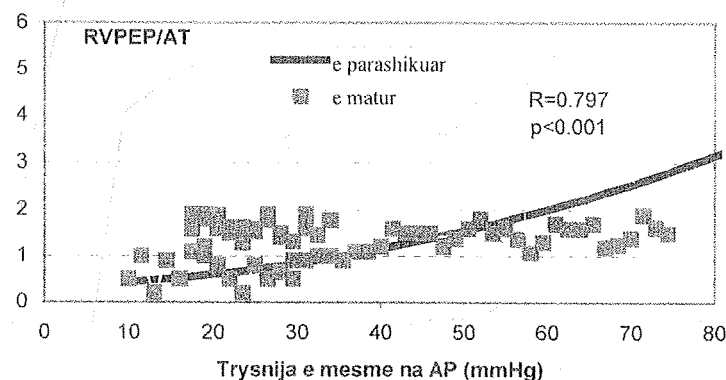
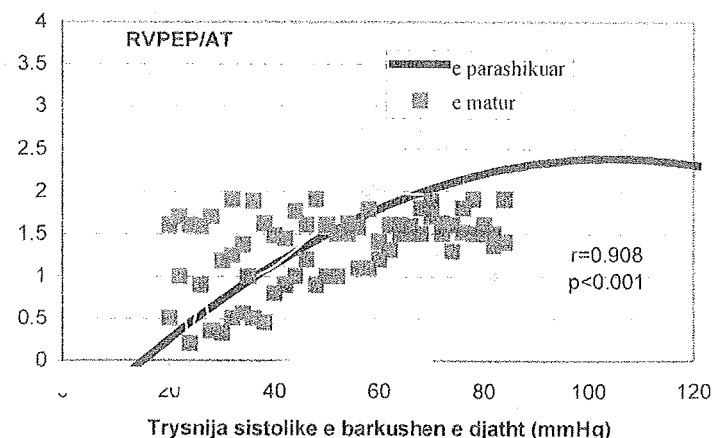
indeksit dhe tensioni kapilar treguan vlerat:  $r=0,652$  (Grafiku nr.6).

Vlerat e RVPEP/AT indeksit treguan vazhdimin sinjifikaTIV ( $p<0,05$ ) të këtij indeksi, duke shkuar nga i pari grup drejt grüpit të tretë hemodinamik. E krahasuar me grupin e kontrollit ky indeks tregoi ndryshime sinjifikative të lartë ( $p<0,001$ ). Në tabelën nr 3 janë treguar vlerat e marra:

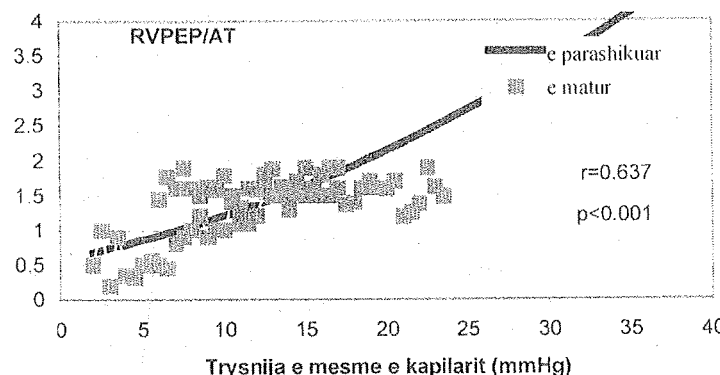
Vlerat e lartpërmendura të marra me anë të doppler ekokardiografisë janë korreluar me vlerat e tensionit pulmonar arterial të mesëm, të marra me kateterizimin e djathtë të zemrës. Vlerat e korreluara dhanë koeficient  $r=0,797$  (Grafiku nr.7).

Tabela nr. 3

Grupi (PAP-I MESËM)	Numri	RVPEP/AT	
		Vlera të mesme	Devijime
I 20-30	16	1,15	0,19
II 30-40	14	1,69	0,31
III >40	9	2,70	0,59
TOTAL	39	1,66	0,67
KONTROLI	6	0,37	0,11

**Grafiku Nr.7****Grafiku Nr.8**

Grafiku Nr.9



Korrelacioni i marrë nga tensioni sistolik i ventrikulës së djathë dhe RVPEP/AT indeksit dhanë koeficient të korrelacionit:  $r = 0,008$  (Grafiku nr.8)

Koeficienti i korrelacionit midis RVPEP/AT indeksit dhe tensionit kapilar tregoi vlerë  $r = 0,637$  (Grafiku nr.9).

Tabela përbledhëse e indekseve kohore të sistolave (IST) të marra nga doppler ekokardiografi korrelacioni me tensionin pulmonar arterial të mesëm (TPA të mesëm), tensioni sistolik në ventrikulën e djathë (TVD) dhe tensioni kapilar (TK) të mesëm RVPEP/RVET indeksi dha korrelacion më të mirë me tensionin pulmonal arterial të mesëm ( $r = 0,922$ ). Korrelacion më të mirë me tensionin sistolik në ventrikulën e djathë tregoi RVPEP/AT indeksi ( $r = 0,908$ ) Korrelacion më të mirë me tensionin kapilar të mesëm tregoi indeksi RVPEP/RVET ( $r = 0,652$ ). Të gjitha vlerat e koeficientit të korrelacionit treguan vlera të larta statike të rëndësishme ( $p < 0,001$ ) (Tabela nr.4)

Tabela nr. 4

STI(me eko)	Parametra të situara me kateterizim të djathë të zemrës		
	PAP (të mesëm)	DVP (sistolik)	KP (të mesëm)
RVPEP/RVET	0,922	0,667	0,652
AT/RVET	0,775	0,825	0,636
	0,797		0,637

**Diskutimi:** Në periudhën e shkuar ekokardiografia me të drejtë mori përparsi midis metodave diagnostike në kardiologji. Me vënien e theksit ivazivitetit si përparsi kryesore ndaj metodave të tjera në ndjekjen e sëmundjeve të zemrës, veçanërisht tek ata me defekte valvulare të zemrës.

Tensioni sistolik në barkushen e djathë me doppler ekokardiografi (përcaktoi vlerësimin jo invaziv dhe ndjekjen e hipertensionit pulmonar ar-

terial gjatë klinikës së sëmundjes. Disa autorë kanë treguar në ngjasimin morfologjik të kalimit tek derdhja në pjesën e daljes të ventrikulës së djathë dhe në arterien pulmonare, nuk ka fituar mospërputhje në intervalet kohore të ventrikulës së djathë në sistol në pjesën e daljes të ventrikulës së djathë dhe të arteries pulmonare (8,10). Këto janë shkaqet përmblidhëse e indekseve kohore të sistolave (IST) të marra nga doppler ekokardiografi korrelacioni me tensionin pulmonar arterial të mesëm (TPA të mesëm), tensioni sistolik në ventrikulën e djathë (TVD) dhe tensioni kapilar (TK) të mesëm RVPEP/RVET indeksi dha korrelacion më të mirë me tensionin pulmonal arterial të mesëm ( $r = 0,922$ ). Korrelacion më të mirë me tensionin sistolik në ventrikulën e djathë tregoi RVPEP/AT indeksi ( $r = 0,908$ ) Korrelacion më të mirë me tensionin kapilar të mesëm tregoi indeksi RVPEP/RVET ( $r = 0,652$ ). Të gjitha vlerat e koeficientit të korrelacionit treguan vlera të larta statike të rëndësishme ( $p < 0,001$ ) (Tabela nr.4)

arterial gjatë klinikës së sëmundjes. Disa autorë kanë treguar në ngjasimin morfologjik të kalimit tek derdhja në pjesën e daljes të ventrikulës së djathë dhe në arterien pulmonare, nuk ka fituar mospërputhje në intervalet kohore të ventrikulës së djathë në sistol në pjesën e daljes të ventrikulës së djathë dhe të arteries pulmonare (8,10). Këto janë shkaqet përmblidhëse e indekseve kohore të sistolave (IST) të marra nga doppler ekokardiografi korrelacioni me tensionin pulmonar arterial të mesëm (TPA të mesëm), tensioni sistolik në ventrikulën e djathë (TVD) dhe tensioni kapilar (TK) të mesëm RVPEP/RVET indeksi dha korrelacion më të mirë me tensionin pulmonal arterial të mesëm ( $r = 0,922$ ). Korrelacion më të mirë me tensionin sistolik në ventrikulën e djathë tregoi RVPEP/AT indeksi ( $r = 0,908$ ) Korrelacion më të mirë me tensionin kapilar të mesëm tregoi indeksi RVPEP/RVET ( $r = 0,652$ ). Të gjitha vlerat e koeficientit të korrelacionit treguan vlera të larta statike të rëndësishme ( $p < 0,001$ ) (Tabela nr.4)

arterial gjatë klinikës së sëmundjes. Disa autorë kanë treguar në ngjasimin morfologjik të kalimit tek derdhja në pjesën e daljes të ventrikulës së djathë dhe në arterien pulmonare, nuk ka fituar mospërputhje në intervalet kohore të ventrikulës së djathë në sistol në pjesën e daljes të ventrikulës së djathë dhe të arteries pulmonare (8,10). Këto janë shkaqet përmblidhëse e indekseve kohore të sistolave (IST) të marra nga doppler ekokardiografi korrelacioni me tensionin pulmonar arterial të mesëm (TPA të mesëm), tensioni sistolik në ventrikulën e djathë (TVD) dhe tensioni kapilar (TK) të mesëm RVPEP/RVET indeksi dha korrelacion më të mirë me tensionin pulmonal arterial të mesëm ( $r = 0,922$ ). Korrelacion më të mirë me tensionin sistolik në ventrikulën e djathë tregoi RVPEP/AT indeksi ( $r = 0,908$ ) Korrelacion më të mirë me tensionin kapilar të mesëm tregoi indeksi RVPEP/RVET ( $r = 0,652$ ). Të gjitha vlerat e koeficientit të korrelacionit treguan vlera të larta statike të rëndësishme ( $p < 0,001$ ) (Tabela nr.4)

dhe kateterizimit të zemrës ndikuan mbi vlerat e fituara me këto 2 metoda. Sipas disa autorëve (16,17,18,19) diapazoni kohor prej 1 deri 2 ditësh jep mospërputhje të dukshme midis vlerave të fituara me këto 2 metoda. Kësaj i bashkëngjitet edhe autorë të tjerë (1,6,11,12,13,20) të cilët në studimin e tyre kanë fituar koeficient të lartë të korrelacionit:  $r = 0,97$  ku pacientët kanë qenë ndjekur simultano. Të dy grupet e kontrollit duhet të bëhen në të njëjtën ditë, me largësi kohore nga 30-60 min. Në studimin tonë largësia kohore është me 1 ditë ndryshim në ndjekjen e pacientëve me këto dy metoda. (21, 22,

23, 24, 25, 26, 27, 28, 29)

**Përfundim:** Vlerat e indekseve-kohore sistolike të fituara me doppler ekokardiografi të krahasuara me variablet e fituara me kateterizim të barkushes së djathë dhanë korrelacion të lartë dhe të mirë. Përfundimi ishte RVPEP/RVET indeksi më mirë korrelon me tensioni arterial pulmonar të mesëm ( $r = 0.922$ ), por edhe me tensionin kapilar janë me korrelacion më të mirë ( $r = 0.652$ ), krahasuar me indekset e tjera. Korrelacion më të mirë me tensionin sistolik në barkushen e djathë dha RVPEP/AT indeksi: ( $r = 0.908$ ).

## BIBLIOGRAFIA

1. Yock PG, Popp RL. Noninvasive estimation of right ventricular systolic pressure by Doppler ultrasound in patients with tricuspid regurgitation. *Circulation* 1984; 70:657-662.
2. Yock P, Popp R. Non-invasive estimation of right ventricular systolic pressure by Doppler ultrasound in patients with tricuspid regurgitation. *Circulation* 1984; 70:657-662.
3. Otto CM, Davis KB, Reid CL, Slater JN, Kronzon I, Kisslo KB, Bashore TM. Relation between pulmonary artery pressure and mitral stenosis severity in patients undergoing balloon mitral commissurotomy. *Am J Cardiol* 1993; 71:874-878.
4. Masuyama T, Nagano R, Nariyama K, Lee JM, Yamamoto K, Naito J, Mano T, Kondo H, Hori M, Kamada T. Transthoracic Doppler echocardiographic measurements of pulmonary venous flow velocity patterns: comparison with transesophageal measurements. *Am J Soc Echocardiogr* 1995; 8:61-69.
5. Currie PJ, Seward JB, Chan KL, Fife Da, Hagler DJ, Mair DD, Reeder GS, Nishimura RA, Tajik AJ. Continuous wave Doppler determination of right ventricular pressure: a simultaneous Doppler-catheterization study in 127 patients. *J Am Coll Cardiol* 1985; 6:750-756.
6. Klein AL, Tajik AJ. Doppler assessment of pulmonary venous flow in healthy subjects and patients with heart disease. *J Am Soc Echocardiogr* 1991; 4:379-392.
7. Jiang L, Stewart W.J, King M.E, Weyman A.E.: An improved method for estimation of pulmonary artery pressure using Doppler velocity time interval (abstr) *JACC* 3:613, 1984.
8. Matsuda M, Sekiguchi T, Sugishita Y, Kuwako K, Lida K, Ito I: Reliability of non-invasive estimates of pulmonary hypertension by pulsed Doppler echocardiography. *Br. Heart J.* 56:158-164, 1986.
9. Naumovski J, Srbinovska B, Petrovski B.: Comparison of Doppler measurements with pulmonary Arterial Pressure measures at Cardiac Catheteriza-
- tion. *International Journal of Cardiac Imaging* 4:72-73, 1989.
10. Takao S, Miyatake K, Izumi S, Okamoto Y, Kinoshita N, Nakagawa H, Yamamoto K, Sakakibara H, Nimura Y.: Clinical implications of pulmonary regurgitation in healthy individuals-detection by cross sectional pulsed Doppler echocardiography. *Br Heart J.* 59:542-540, 1988.
11. Hatle L, Angelsen B, Tromsdal A.: Non invasive estimation of pulmonary artery pressure with Doppler ultrasound. *Br. Heart J.* 45:157-165, 1981.
12. Suzuki - Y; Kambara; Katoda-K; Tamaki-S: at all. "Detection and evaluation of tricuspid regurgitation using a real-time; two dimensional color-coded, Doppler flow imaging system: comparison with contrast two-dimesional echocardiography and right ventriculography". *Am.J.Cardiol* 1 986 Apr. 1;57(10):811-5.
13. Eichelberger JP; Meltzer RS :Right-sided valvular pathology and rheumatic fever" Current Opinion in Cardiology 9(2):181-5, 1994 Mar.
14. Sapin MG Smith MD, Grauburum PA, Harlamert EA, De Maria AN. " Quantitative Assessment of tricuspid regurgitation by Doppler color flow imaging: Angiographic and hemodynamic correlations. *Journal American Col. Cardiol.* 1989; 13:585-90.
15. Cooper JW, Nanda NC, Philpot E, Fan P. "Evaluation of valvular disease: Two dimensional echocardiographic, hemodynamic and angiographic correlations". *Am. J. Cardiol.* 1983;51:492-6.
16. Daniel SJ, Mintz GS, Kotler MN: Rheumatic tricuspid valve disease: Two dimensional echocardiographic, hemodynamic and angiographic correlations: *Am. J. Cardiol.* 1983;51:492-6.
17. Suzuki Y. Kambara H. Kadota K. Tamaki S. Yamamoto A. Nohara R. Et. Al. " Detection and evaluation of tricuspid regurgitation using real time 2 dimensional colour codet Doppler flow imaging system; Comparison with contrast 2 dimensional Echocardiography and Right ventriculography: American Journal of Cardiology 1990;57:811-815.

18. Higenbotham, T. And Cremona, G. Acute and chronic pulmonary hypertension Eur. Respir. J. 1993;6:1207-1212.
19. Dell Italia LJ: The right ventricle: Anatomy, physiology and clinical importance. Curr Probl Cardiol 1991, 16:657-720.
20. Lee FA: Hemodynamics of the right ventricle in normal and disease states. Cardiol Clin 1992, 10:59-67.
21. Nanda N, Gramian R, Robinson T: Echocardiographic evaluation of pulmonary hypertension. Circulation 1974, 50:575-9.
22. Hines R: Right ventricular function and failure: A Review. Yale J Biol Med 1991;64:295-307.
23. Yock PG, Popp RL: Noninvasive estimation of right ventricular systolic pressure by Doppler ultrasound I patients with tricuspid regurgitation. Circulation 1984;70:657-662.
24. Yock PG, Naasz C, Schnittger I, Popp RL: Doppler tricuspid and pulmonic reg. In normal subjects: Is it real? Circulation 1984;70:II-40 (abstr).
25. Akada K, Sasaki S, Kodama T. et.al.: Reoperation for mitral valve disease; Japanese Jour. Of thoracic Surgery 1992; 44(1): 1-10.
26. Grossman W (ed): Cardiac Catheterization and Angiography 2-nd ed., Philadelphia Lea&Febinger, 1980.
27. Nobuo Fukuda, Takashi Oki, Arata Luchi, Tomotsugu Tabata, Hirosugu Yamada, Susumu Ito, Naoki Takeichi, Hisanori Shinohara, Takeshi Socki, Hirohiko Shinomiya, Yasuko Yui, Yoshiyuki Tamura: Tricuspid inflow and regurgitant flow dynamics after mitral valve replacement: differences relating to surgical repair of the tricuspid valve. The journal of heart valve disease 1997;6:184-188.
28. Fukuda N; Oki T; Iuchi A; Tabata T; Yamada H; Ito S; Takeichi N; Shinohara H; Socki T; Shinomiya H; Yui Y; Tamura Y.; Tricuspid inflow and regurgitant flow dynamic after mitral valve replacement: Differences relating to surgical repair of the tricuspid valve. J-Heart-Valve-Dis.6/2 (184-188), 1997.
29. Abe T; Tukamoto M; Yanagiya M; Morikawa M; Watanebe N; Komatsu S.; De Vega's annuloplasty for acquired tricuspid disease: Early and late results in 110 patients, Ann Thorac Surg. 62(5):1451-1456, 1996.